

سنجش و تحلیل همبستگی سری زمانی خشکسالی‌ها مبتنی بر تصاویر ماهواره مودیس و شاخص اقلیمی بارش استاندارد شده (Spi) در دامنه شرقی زاگرس

زهرا عربی؛ استادیار گروه جغرافیا، دانشگاه پیام نور، تهران، ایران.
ایوب بدرق‌نژاد^۱؛ عضو هیات علمی گروه جغرافیا، دانشگاه پیام نور، تهران، ایران.

دریافت مقاله: ۱۳۹۹/۰۱/۱۹ پذیرش نهایی: ۱۴۰۰/۰۲/۱۸

چکیده

خشکسالی یکی از بلاهای محیطی است که فراوانی آن به‌ویژه در مناطق خشک و نیمه‌خشک کشور بسیار زیاد می‌باشد. کمبود بارش اثرات متفاوتی را بر روی آب‌های زیرزمینی، رطوبت خاک و جریان رودخانه‌ها به‌جای می‌گذارد. هدف این پژوهش ارزیابی پوشش گیاهی و دمای سطح زمین جهت تحلیل دوره خشکسالی در استان‌های قم، چهارمحال بختیاری، اصفهان و مرکزی با استفاده از تصاویر ماهواره ترآ سنجنده مودیس، داده‌های بارش ایستگاه‌های سینوپتیک واقع در منطقه، شاخص‌های سنجش‌ازدوری همچون شاخص سلامت پوشش گیاهی، وضعیت پوشش گیاهی و شاخص وضعیت درجه حرارت به‌منظور آشکارسازی تغییرات رخ‌داده در بازه زمانی ۱۷ ساله (مادیس) و ۲۰ ساله (بارش، جهت صحت سنجی) می‌باشد. بدین منظور ابتدا با بررسی داده‌های باران‌سنجی و سینوپتیک ایستگاه‌های موجود و با استفاده از مدل شاخص بارش استاندارد شده سه ماه آوریل، می و ژوئن به‌عنوان نمونه انتخاب شد. در این مطالعه تصاویر ماهواره‌ای با کد (MOD11A2, MOD13A3) از سال ۲۰۰۰ تا ۲۰۱۷ دریافت و روی آن‌ها پیش‌پردازش و پردازش‌های لازم همانند تصحیح هندسی و رادیومتریک انجام گرفت، سپس شاخص بارش استاندارد شده با شاخص‌های شرایط دمایی، شاخص وضعیت پوشش گیاهی و شاخص سلامت پوشش گیاهی به‌صورت تلفیقی به کمک تصاویر ماهواره ترآ سنجنده مودیس مورد مقایسه قرار گرفت. نتایج نشان داد بین ماه‌های مورد سنجش واقع شده، بیشترین روند رو به خشکی در قسمت شرقی این استان‌ها نمایان بوده و بیش از ۵۰ درصد مساحت این استانها را شامل می‌شود. روند تغییرات این شیب از لحاظ آماری معنی‌دار است. با توجه به نتایج همبستگی‌ها شاخص وضعیت درجه حرارت با شاخص بارش استاندارد شده از همبستگی قوی نسبت به سایر شاخص‌ها برخوردار بوده است. همچنین می‌توان نتیجه گرفت که تصاویر مودیس و شاخص‌های پردازش‌شده در کنار شاخص اقلیمی دارای قابلیت لازم برای پایش خشکسالی است. استفاده از نقشه‌های حاصل از شاخص‌های خشکسالی می‌تواند به بهبود برنامه‌های مدیریت خشکسالی کمک نموده و نقش بسزایی را در کاهش اثرات خشکسالی ایفا کند.

واژه‌های کلیدی: خشکسالی، سنجش‌از دور، همبستگی، شاخص اقلیمی.

مقدمه

خشکسالی از اصلی‌ترین بلایاهای طبیعی است که انسان از دیرباز با آن آشنا بوده است و از مهمترین بلایای طبیعی است که بر ابعاد مختلف زندگی بشر تأثیرگذار است (Mishra & Singh, 2010) و به یک دوره زمانی تسلط آب‌وهوای خشک غیرعادی گفته می‌شود که باعث عدم تعادل بین عرضه و تقاضای آب شده است و تأثیرات اجتماعی، اقتصادی و زیست‌محیطی را به دنبال دارد (Zhang, 2012). خشکسالی حاصل کمبود بارش در طی یک دوره ممتد زمانی معمولاً یک فصل یا بیشتر می‌باشد. این کمبود منجر به نقصان آب برای برخی فعالیت‌ها، گروه‌ها و یا یک بخش زیست‌محیطی می‌شود (قربانی و همکاران، ۱۳۹۷). بروز خشکسالی و کاهش بارش بر منابع آب و کشاورزی در هر منطقه تأثیرگذار است (خوش‌اخلاق و همکاران، ۱۳۸۹). تغییرپذیری منابع آب زیرزمینی از تغییرات اقلیمی ناشی از فرایندهای هیدرولوژیکی مانند بارش، تبخیر و تعرق و تعامل با آب سطحی انجام می‌گیرد (Chen, 2004). خشکسالی عمده‌ترین مشکل مناطق خشک و نیمه‌خشک است و تنوع بسیار زیاد در زمان و مکان وقوع خشکسالی، کار تشخیص دقیق وقوع آن را بر اساس مشاهدات مکانی سخت و پیچیده می‌کند (Lin et al, 2011). خشکسالی حادثه‌ای طبیعی است که بر اقتصاد، کشاورزی و جنبه‌های اجتماعی جامعه اثر می‌گذارد. این پدیده تدریجی است، به‌گونه‌ای که آغاز و پایان آن معلوم نیست. تداوم آن ممکن است از چندین ماه تا چندین سال طول بکشد و مساحت تحت پوشش آن در طول زمان تغییر کند، به همین دلیل نیاز به پایش آن بیشتر احساس می‌شود (Bhuiyan, 2004). منظور از پایش خشکسالی ارائه اطلاعات بهنگام از دوام، شدت و توسعه جغرافیایی خشکسالی در یک ناحیه به‌منظور اتخاذ اقدامات مناسب برای مقابله با آثار زیانبار خشکسالی است. در دهه‌های گذشته معمولاً تحلیل خشکسالی به‌صورت توصیفی انجام می‌گرفت و کمتر به تحلیل کمی پرداخته می‌شد (Karel et al, 1989). اصولاً برای تحلیل کمی خشکسالی، وجود یک شاخص مشخص برای تعیین دقیق دوره‌های مرطوب و خشک بسیار ضروری است. شروع استفاده از شاخص‌های جامع را می‌توان با شاخص‌هایی که پالمر در سال ۱۹۶۵ معرفی کرد، دانست. شاخص‌های هواشناسی با در نظر گرفتن پارامترهای هواشناسی مانند میزان بارش، رطوبت و دما، خشکسالی تعریف می‌کنند (Silva, 2008). شروع استفاده از فن‌آوری سنجش‌ازدور برای پایش خشکسالی به کاربرد آن در استخراج اطلاعات از پوشش گیاهی زمین بازمی‌گردد. یک‌مرتبه کالیبره کردن اطلاعات ماهواره‌ای با واقعیت زمینی، امکان استفاده از داده‌ای ماهواره‌ای برای پایش شروع خشکسالی، واکنش پوشش گیاهی به خشکسالی و بهبود پس از استرس را فراهم می‌کند. در دهه‌های اخیر مدل‌های زیادی در رابطه با پایش خشکسالی ارائه شده است که عموماً بر پایه شاخص‌های گیاهی، دمای سطح زمین، محتوای آب گیاه و وضعیت گیاه است. برخی از مدل‌ها عبارت‌اند از: شاخص وضعیت پوشش گیاهی سلامت پوشش گیاهی، تفاضل نرمال شده، شاخص نسبت درجه حرارت (Bayarjargal et al, 2006). شاخص رطوبت خاک (Gu et al, 2008). از آنجایی که امروزه سنجنده‌های متعددی در مطالعات پایش خشکسالی به‌کار می‌روند، در مطالعه حاضر از اطلاعات سنجنده مودیس استفاده شد، زیرا در مقایسه با سنجنده‌های دیگر، سنجنده مودیس با داشتن باندهای مختلف و طیف الکترومغناطیسی بالقوه برای نظارت بر خشکسالی مناسب‌تر است (Ceccato et al, 2001). از این‌رو، از سال ۲۰۰۰ پس از کسب اولین داده‌های ماهواره‌ای از این سنجنده، استفاده از اطلاعات آن به‌منظور ارزیابی و پایش خشکسالی مدنظر قرار گرفت. دامنه وسیعی از شاخص‌های مبتنی بر داده‌های مودیس برای نظارت بر خشکسالی در مناطق مختلف تاکنون ارائه شده است (Caccamo et al, 2011). در جهان دانشمندان مثل (Park et al, 2008)، (رحیم زاده و

همکاران، ۲۰۰۹)، (Murad et al., ۲۰۱۱)، (Alwesabi, ۲۰۱۲) و در ایران (یگانه و خواجه‌الدین، ۱۳۹۰) با استفاده از شاخص‌های متعدد محاسبه شده حاصل از تصاویر سنجنده مودیس اقدام به ارزیابی و پایش خشکسالی کردند و نتایج پژوهش‌های آن‌ها نشان داده است که اطلاعات این سنجنده برای تعیین خشکسالی مناسب است. در کشور ایران نیز خشکسالی پدیده جدید و ناشناخته‌ای نیست و موقعیت جغرافیایی و شرایط طبیعی کشور به شکلی است که شاهد خشکسالی‌هایی با شدت کم‌وزیاد بوده است. پذیرش این واقعیت که بخش وسیعی از سرزمین ایران در محدوده نوار بیابانی قرار دارد، حاد بودن پیامدهای خشکسالی را برای کشور مشخص می‌کند. خشکسالی یک خطر جدی با اثرات بسیار گسترده بر روی خاک، اقتصاد و تهدید معیشت و سلامت جوامع محلی می‌باشد. با توجه به اینکه در مناطق مورد مطالعه کمبود بارش نسبت به متوسط مورد انتظار طی این سال‌ها شکل گرفته است. باین‌وجود سنجش و تحلیل سری زمانی خشکسالی برای تجزیه و تحلیل‌های محیط جغرافیایی، برنامه‌ریزی و مدیریت امری ضروری بنظر است. همچنین پی بردن به این مسئله که آیا شاخص‌های سنجش‌ازدوری قابلیت لازم را برای پایش و ارزیابی خشکسالی در کنار شاخص‌های اقلیمی را دارند می‌تواند امری مهم تلقی گردد. خشکسالی از قدیمی‌ترین بلایای طبیعی و موضوع مطالعه و پژوهش از گذشته‌های دور تاکنون بوده است. اگرچه تاریخ دقیق زمان توجه پژوهشگران به این پدیده مشخص نیست، مطالعات علمی درباره آن با توجه به نظریه‌های مرتبط به قرن بیستم مربوط می‌شود. برخی پژوهش‌های خارجی و داخلی درباره موضوع پژوهش حاضر عبارت‌اند از (Howitt et al., ۲۰۱۵) در پژوهشی به تجزیه و تحلیل اقتصادی آثار خشکسالی بر کشاورزی کالیفرنیا پرداختند و به این نتیجه رسیدند که آثار بیشتری در مناطق دارای محدودیت آب‌های زیرزمینی نمایان هستند به‌گونه‌ای که بر قیمت محصولات کشاورزی نیز مؤثر هستند. (FAO, ۲۰۱۳). در پژوهشی، خشکسالی در جهان را بررسی و آثار مختلف این پدیده از جمله مرگ، بیماری، سوء‌تغذیه، قحطی و حتی جابه‌جایی‌های مکانی جمعیت در ۳۰ تا ۵۰ سال آینده جهان را تحلیل کرد (Edossa, ۲۰۰۹). خشکسالی در حوضه رودخانه اواش در اسیوی را با شاخص خشکسالی بارش استاندارد شده بررسی کرد؛ تجزیه و تحلیل و ارتباط بین شاخص‌های خشکسالی هواشناسی و هیدرولوژی در حوضه یادشده نشان داد که وقوع پدیده خشکسالی هیدرولوژیک در ایستگاه اندازه‌گیری شده با میانگین تأخیری هفت‌ماهه از رویداد خشکسالی هواشناسی در اواش روی می‌دهد و تنوع ۳ تا ۱۳ ماهه دارد. (Shaban, ۲۰۰۸). خشکسالی هیدرولوژیکی را در لبنان مطالعه کرد و نتایج پژوهش او نشان دادند که منابعی مانند رودخانه‌ها و آب‌های زیرزمینی که متأثر از فعالیت‌های انسان هستند، حدود ۲۳ تا ۲۹ درصد کاهش داشته‌اند و منابعی که کمتر از فعالیت‌های انسان تأثیر می‌گیرند (پوشش برف و بارش باران و برف)، حدود ۱۲ تا ۱۶ درصد کاهش داشته‌اند. (Dinar, ۲۰۰۰). آثار خشکسالی در جوامع روستایی کشورهای جنوب آفریقا را بر هفت بخش محصولات زراعی، دام، آب، اشتغال، قیمت مواد غذایی، چراگاه و سوخت طبقه‌بندی و مطالعه کردند. در بخش مطالعات داخلی نیز پژوهش‌های انجام پذیرفته است که در ذیل به آن‌ها پرداخته می‌شود:

(سلطانی و همکاران، ۱۳۹۸) در پژوهشی به پایش خشکسالی و سلامت پوشش گیاهی در منطقه کرمانشاه با استفاده از تصاویر ماهواره‌ای لندست پرداخته‌اند. نتایج پژوهش نشان‌دهنده این موضوع است که تصاویر لندست و شاخص‌های ساخته شده دارای قابلیت لازم و کافی برای پایش خشکسالی می‌باشد. (حمزه و همکاران، ۱۳۹۶) در پژوهشی تحت عنوان پایش زمانی و مکانی خشکسالی کشاورزی با استفاده از داده‌های سنجش‌ازدور مورد مطالعه: استان مرکزی)، چنین بیان می‌کنند، نتایج حاصل از شاخص وضعیت پوشش گیاهی در مقیاس فصلی با شرایط اقلیمی

محدوده تطابق بیشتری دارد. به‌گونه‌ای که این شاخص بهترین شاخص جهت پایش خشکسالی انتخاب گردید. (غفوریان، ۱۳۹۳) طی سال ۱۹۹۸ تا ۲۰۱۰ در استان خراسان رضوی، با استفاده از شاخص بارش استاندارد شده داده‌های زمینی و داده‌های ماهانه ماهواره TRMM، خشکسالی در مقیاس‌های یک، سه، شش و نهم‌ماهه را مورد بررسی قرار دادند، نتایج نشان داد که به‌جز در مقیاس یک‌ماهه همبستگی نزدیکی بین داده‌های خشکسالی زمینی و ماهواره‌ای وجود دارد. (تیموری، ۱۳۹۲) در پژوهشی با عنوان بررسی آثار اقتصادی - اجتماعی خشکسالی‌های دهه اخیر بر روستاهای بخش مرکزی شهرستان اصفهان به این نتیجه رسید که خشکسالی بر تغییر شاخص‌های اقتصادی بیشتر از اجتماعی مؤثر بوده و در بین شاخص‌های اقتصادی، بیشترین تأثیر بر کاهش تولیدات کشاورزی و در بین شاخص‌های اجتماعی، بیشترین اثر بر افزایش فقر بوده است. خشکسالی نیز همانند سایر پدیده‌های آب و هوایی در نتیجه تغییرات تحولات آب و هوایی ناشی از گردش عمومی اتمسفر اتفاق می‌افتد. وقوع آن هرچند ناشی از عوامل محلی است، بیشتر به دلیل روابط بین بخش‌هایی از اجزای گردش عمومی اتمسفر است و بر همین اساس، فرونشینی توده‌های هوا، سلول‌های پرفشار، ناهنجاری‌های فشار، دمای سطح دریا در ایجاد و یا تداوم هسته‌های پرفشار، موج‌های بلند در بادهای غربی و نقش انسان از مهم‌ترین علل رخداد این پدیده هستند (امیدوار، ۱۳۹۲). خشکسالی اعم از هواشناسی و هیدرولوژیکی، مؤثرترین نقش را در میان بلایای طبیعی دارد و دو گروه پیامد مستقیم و غیرمستقیم از خود برجای می‌گذارد. اساسی‌ترین پیامدهای مستقیم عبارت‌اند از: کاهش اراضی کشاورزی، کاهش تعداد دام‌ها، کاهش تولید محصولات کشاورزی، افزایش هزینه‌های تولید، کاهش منابع آب، کاهش وسعت مراتع و جنگل‌ها، افزایش آتش‌سوزی‌ها و غیره مهم‌ترین آثار غیرمستقیم نیز شامل کاهش درآمد در بخش کشاورزی و دامداری، کاهش قیمت اراضی زراعی، افزایش مهاجرت‌های روستایی، تخلیه تدریجی آبادی‌ها، گسترش ابعاد فقر، قحطی، بیکاری، تغییر ساختار لایه‌های زمین و نهایتاً نشست زمین و غیره هستند. مطالعه خشکسالی با توجه به انواع مختلف و بروز آن در ابعاد مختلف محیط طبیعی، کشاورزی، اقتصاد و شرایط اجتماعی و شهر و روستا، زمینه‌های مختلفی را در برمی‌گیرد؛ اما بی‌تردید تحلیل و ارزیابی اقلیمی و هیدرولوژیکی خشکسالی، زمینه‌های اصلی و کلیدی مطالعه خشکسالی هستند. در منابع مختلف (حجازی‌زاده و جوی‌زاده، ۱۳۸۹؛ امیدوار، ۱۳۹۲) به مجموعه متنوعی از روش‌ها برای تحلیل خشکسالی اشاره می‌شود که مهم‌ترین آن‌ها عبارت‌اند از: روش‌های مطالعه بیلان آبی مناطق، روش‌های تحلیل جریان، روش‌های تحلیل داده‌های بارندگی، روش‌های تحلیل همبندی (سینوپتیک)، روش‌های استفاده از اطلاعات ژئومورفولوژیکی، روش‌های سنجش‌ازدور، روش‌های تعیین شاخص‌های خشکسالی و ...؛ روش اخیر که بیشتر بر روش‌ها و الگوهای ریاضی و تحلیل داده‌های کمی اقلیمی مبتنی است، کاربرد فراوانی برای تحلیل خشکسالی دارد (نوری و نوروزی، ۱۳۹۵). با توجه به پژوهش‌های اشاره‌شده در این بخش که در زمینه‌ی تحقیق حاضر انجام‌گرفته می‌توان این‌گونه بیان نمود که تفاوت پژوهش حاضر در این مقوله می‌باشد که این پژوهش علاوه بر بررسی معیارهای موردسنجش قرارگرفته شده در پژوهش‌های پیشین، جهت پردازش از داده‌های مادیس MOD11A2, MOD13A3 بهره‌گرفته شد. که یکی از پرکاربردترین پروداکت‌هایی که در ارتباط با مادیس طراحی شده، پروداکت پوشش گیاهی و دمای سطح زمین آن می‌باشد که به‌صورت ماهانه مورد استفاده قرار می‌گیرد، درحالی‌که در پژوهش‌های پیشین بیشتر تأکید بر سنجنده‌های لندست و قابلیت‌های آن بوده است، همچنین در این پژوهش برای بررسی تغییرات از روش‌های پایش سنجش‌ازدوری همچون شاخص سلامت پوشش گیاهی، وضعیت پوشش گیاهی و شاخص وضعیت درجه حرارت که با توجه به استانداردهایی که

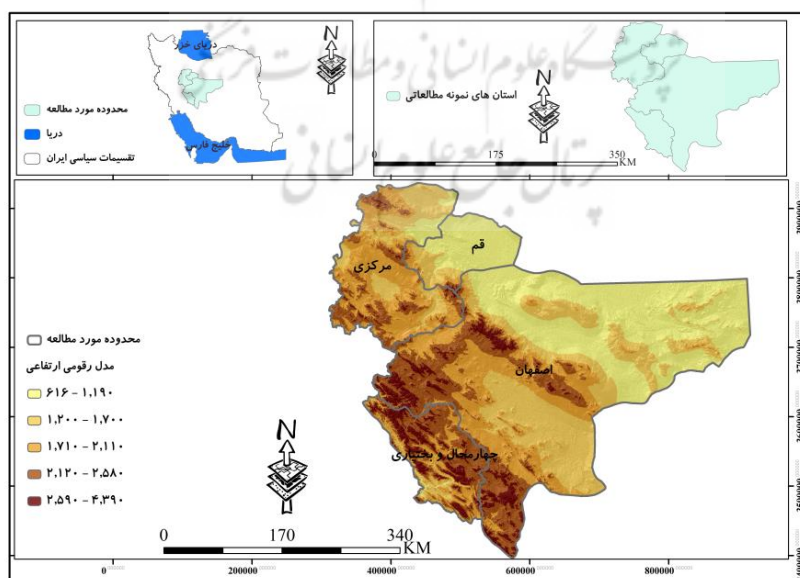
توسط ناسا ارائه شده بهره گرفته شد، در این پژوهش جهت مقایسه و اعتبار سنجی روش‌های مذکور از شاخص بارش استاندارد شده و ضریب همبستگی پیرسون استفاده گردید. که به خوبی می‌تواند برای کاربردهای مختلف سطح زمین، مورد استفاده قرار گیرد، در این پژوهش برای داده‌های مادیس و دیتاهای آن اهمیت قابل توجهی اختصاص یافت. در ادامه پژوهش‌های پیشین به ما در راستای رسیدن به اهداف پژوهش این یاری را رساندند که بتوانیم به خوبی مسائل مرتبط با خشکسالی را شناسایی و در نهایت تمامی عوامل مرتبط را مورد بررسی قرار دهیم.

در این راستا با توجه به اهمیت موضوع مورد مطالعه هدف کلی پژوهش حاضر سنجش و تحلیل همبستگی سری زمانی خشکسالی‌ها مبتنی بر تصاویر ماهواره مودیس و شاخص اقلیمی بارش استاندارد شده در دامنه شرقی زاگرس می‌باشد.

داده‌ها و روش کار

الف) قلمرو جغرافیایی مورد مطالعه

استان چهارمحال و بختیاری، با مساحت ۱۶،۵۳۲ کیلومتر مربع در جنوب غربی کشور بین ۳۱ درجه و ۹ دقیقه تا ۳۲ درجه و ۴۸ دقیقه عرض شمالی و ۴۹ درجه و ۲۸ دقیقه تا ۵۱ درجه و ۲۵ دقیقه طول شرقی قرار دارد. استان اصفهان، این استان با مساحتی حدود ۱۰۶۷۸۶ کیلومتر مربع بین ۳۰ درجه و ۴۳ دقیقه تا ۳۴ درجه و ۲۷ دقیقه عرض شمالی خط استوا و ۴۹ درجه و ۳۶ دقیقه تا ۵۵ درجه و ۳۱ دقیقه طول شرقی نصف النهار گرینویچ، واقع شده است. استان مرکزی، بین رشته کوه‌های البرز و زاگرس و در مجاورت کویر مرکزی بین ۳۳ درجه و ۳۰ دقیقه تا ۳۵ درجه و ۳۵ دقیقه عرض شمالی و ۴۸ درجه و ۵۷ دقیقه تا ۵۱ درجه طول شرقی از نصف النهار گرینویچ قرار دارد. استان قم، با وسعتی معادل ۱۱۲۴۰ کیلومتر مربع در مرکز کشور واقع شده و مرکز آن شهر قم است. این استان بین ۳۰ و ۳۰ درجه طول شرقی نسبت به نصف النهار گرینویچ و ۱۵ و ۳۵ درجه عرض شمالی نسبت به خط استوا قرار گرفته است.



شکل ۱. موقعیت محدوده مورد مطالعه

ب) روش کار

تحقیق حاضر، با توجه به ماهیت مسئله و موضوع مورد بررسی، مطالعات مبتنی بر نرم افزار و داده‌های کمی است. در این مطالعه از تصاویر ماهواره مودیس سنجنده ترآ مربوط به سال‌های ۲۰۰۰ تا ۲۰۱۷ به دلیل اطمینان از وجود پدیده ترسالی و خشکسالی استفاده شد. در مرحله بعد با بررسی داده‌های باران‌سنجی و سینوپتیک ایستگاه‌های موجود و با استفاده از مدل شاخص بارش استاندارد شده سه ماه (آوریل، می و ژوئن) به‌عنوان نمونه انتخاب شد. در مرحله بعد به مقایسه شاخص‌های وضعیت درجه حرارت و سلامت پوشش گیاهی در این سه ماه پرداخته شد تا تفاوت‌های این شاخص‌ها در طی سه ماه مشخص شود. برای این منظور هر یک از شاخص‌های مذکور با استفاده از تصاویر ماهواره مودیس سنجنده ترآ ساخته شدند که در قسمت بالا مراحل تهیه این شاخص‌ها ارائه شده است. جهت استخراج شاخص‌های ماهواره‌ای برای هر یک از ایستگاه‌ها هواشناسی از ابزار Extract Values To Points در محیط نرم‌افزار جی آی اس بهره گرفته شد. شاخص وضعیت پوشش گیاهی، وضعیت درجه حرارت و سلامت پوشش گیاهی با استفاده از روابط (۲) تا (۴) توسعه داده شد. برای اطلاع از وضعیت پوشش گیاهی در منطقه مورد مطالعه از ماهواره مودیس سنجنده ترآ استفاده شد. با استفاده از شرطی که برای لایه پوشش گیاهی گذاشته شد. مناطق عاری از پوشش گیاهی از مناطق دارای پوشش گیاهی جدا شد. برای تعیین حد آستانه مقدار این شاخص برای تشخیص پوشش گیاهی از روش تجربی استفاده شد. برای این منظور حد آستانه‌های مختلفی مورد آزمایش قرار گرفت که در نهایت میزان بهینه انتخاب شده ۱ مثبت بود. مجموع بارندگی ماه‌های آوریل، می و ژوئن برای ۲۳ ایستگاه از استان اصفهان ۱۱ ایستگاه از استان مرکزی، ۵ ایستگاه از استان قم و ۷ ایستگاه از استان چهارمحال بختیاری برای دوره ۲۰ ساله از سایت سازمان هواشناسی کشور تهیه گردید، جهت پردازش داده‌هایی که در محیط اکسل طبقه‌بندی شده بودند از نرم افزار جی آی اس و روش‌های زمین آماری بهره گرفته شد. همچنین به منظور برآورد همبستگی بین داده‌ها از ضریب همبستگی پیرسون استفاده گردید. در این مطالعه به منظور پهنه‌بندی شاخص اقلیمی روش‌های عکس مجذور فاصله، چندجمله‌ای، توابع شعاعی پایه‌ای و روش‌های کریجینگ مورد استفاده قرار گرفت. سپس در بین روش‌های مورد استفاده روشی که مقدار خطای درون‌یابی آن کمتر است به‌عنوان بهترین روش پهنه‌بندی انتخاب گردید و مطابق با آن داده‌ها پهنه‌بندی شدند. با بررسی نتایج به‌دست آمده از ارزیابی خطا روش‌های درون‌یابی الگوریتم کریجینگ نسبت به سایر روش‌های درون‌یابی مقدار خطای کمتری را نشان داد. دلایل انتخاب این روش به‌عنوان روش مناسب ۲ مورد می‌باشد: (۱) مقدار خطای پایین نسبت به سایر روش‌ها (۲) عدم تغییر دامنه شاخص اقلیمی می‌باشد. برای نشان دادن معنی داری روند از معیار p-value استفاده شد. مقادیر p-value برای سه ماه و کل سال در محیط نرم افزار اکسل برآورد گردید، مناطق مورد مطالعه به p-value کمتر از ۰/۰۵ یا بیشتر از ۰/۰۵ یا مناطق دارای روند تفکیک گردید. شاخص استاندارد بارش یکی از شاخص‌های اساسی در مطالعه خشکسالی به‌شمار می‌آید که محاسبه آن نیازمند داشتن میانگین و انحراف معیار درازمدت مقادیر بارندگی برای دوره‌های مورد مطالعه است (Bonaccorso, ۲۰۰۳). این شاخص اساساً برای تعریف و پایش خشکسالی و ترسالی ارائه شده است (Tsakiris et al, ۲۰۰۴). این شاخص از طریق معادله زیر قابل محاسبه می‌باشد. (رابطه ۱)

$$SPI = (Pi - P) / S$$

که در آن Pi : مقدار بارش در دوره مورد نظر. P : میانگین درازمدت بارش برای دوره مورد نظر و S : انحراف معیار مقدار بارش می‌باشد. برای محاسبه این نمایه، از توزیع گاما برای برازش داده‌های بارش استفاده می‌شود که پس از

انجام محاسبه‌های لازم و تعیین پارامترهای مربوط به نمایه شاخص بارش استاندارد شده انجام می‌گیرد. پس از محاسبه مقدار شاخص بارش استاندارد شده در هر بازه زمانی، وضعیت رطوبتی به کلاس‌های مختلف که در جدول ذیل ارائه شده‌اند، تقسیم می‌شود:

جدول ۱. طبقه بندی دوره خشکسالی بر اساس شاخص بارش استاندارد شده

| SPI | شدت خشکسالی |
|-------------------------|---------------|
| $SPI \leq -2$ | خشکسالی حاد |
| $-2 \leq SPI \leq -1.5$ | خشکسالی شدید |
| $-1.5 \leq SPI \leq -1$ | خشکسالی متوسط |
| $-1 \leq SPI \leq 1$ | نرمال |
| $1 \leq SPI \leq 1.5$ | ترسالی متوسط |
| $1.5 \leq SPI \leq 2$ | ترسالی شدید |
| $SPI \geq 2$ | ترسالی حاد |

منبع: حمزه و همکاران، ۱۳۹۶، به نقل از Mckee et al, ۱۹۹۳

شاخص سلامت پوشش گیاهی^۱: براساس ترکیب حاصل از شاخص تفاوت پوشش گیاهی نرمال شده و درجه حرارت سطح زمین استخراج می‌شود. فرمول شاخص مذکور در ذیل آورده شده است. (رابطه ۲)

$$\text{BANDMATH: } (0.5 * \text{VCI}) + (0.5 * \text{TCI})$$

شاخص وضعیت درجه حرارت^۲: شاخص وضعیت درجه حرارت بر اساس باند حرارتی تبدیل شده به دمای درخشندگی ارائه شده است.

$$\text{BANDMATH: } 100 * ((\text{BTMAX} - \text{LST}_i) / (\text{BTMAX} - \text{BTMIN})) \quad (\text{رابطه ۳})$$

در این رابطه، مقادیر (درجه حرارت) BT دمای درخشایی (باند ۳۱) و نشان دهنده‌ی سال جاری است. مقادیر پیشینه و کمینه‌ای BT از داده‌های ثبت شده‌ی درازمدت برای هر سال به دست می‌آید. هنگامی که مقدار شاخص وضعیت درجه حرارت به ۱۰۰ درصد می‌رسد BT برای این ماه برابر کمترین مقدار BT دراز مدت برای پیکسل است. مقادیر کم شاخص وضعیت درجه حرارت نزدیک به صفر درصد نشان دهنده‌ی هوای بسیار گرم در سال مورد نظر است. هنگامی که شاخص وضعیت درجه حرارت به صفر درصد می‌رسد، BT آن سال برابر بیشترین مقدار BT دراز مدت برای پیکسل است. شاخص وضعیت پوشش گیاهی^۳: بوسیله دامنه‌ای از مقادیر پوشش گیاهی طولانی مدت محاسبه شده و نرمال می‌شود. به نحوی که دامنه مقادیر شاخص وضعیت پوشش گیاهی از ۰ تا ۱۰۰ است، که در آن مقادیر کم شرایط تنش گیاهی را نشان می‌دهد، زمانی که مقدار شاخص وضعیت پوشش گیاهی به صفر درصد نزدیک می‌شود، نشانگر یک ماه بسیار خشک است و وقتی که مقدار پوشش گیاهی به بیشترین مقدار نزدیک می‌شود، وضعیت خشکسالی بهبود می‌یابد. مقادیر کم شاخص وضعیت پوشش گیاهی برای فواصل زمانی پی درپی، اشاره به ازدیاد خشکسالی دارد که طبق رابطه ذیل تعریف می‌شود (Kogan, ۲۰۰۰).

$$\text{BANDMATH: } 100 * ((\text{NDVI} - \text{MIN}) / (\text{MAX} - \text{MIN})) \quad (\text{رابطه ۴})$$

۱. VEGETATION HEALTH INDEX

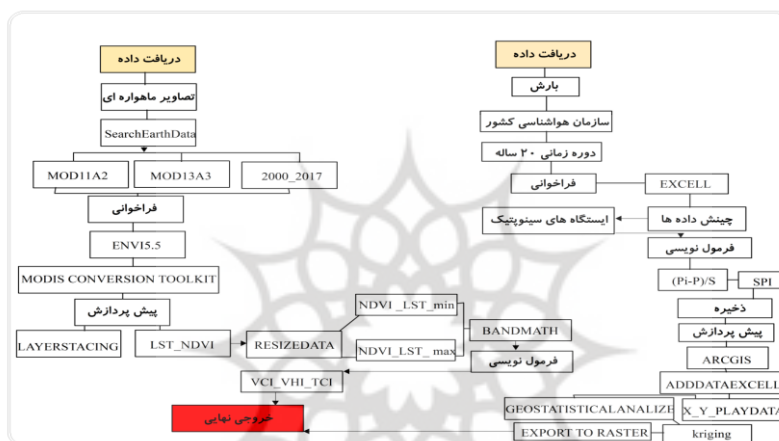
۲. THERMAL CONDITION INDEX

۳. VEGETATION CONDITION INDEX

جدول ۲. طبقه بندی دوره خشکسالی بر اساس شاخص سلامت پوشش گیاهی، وضعیت پوشش گیاهی و شاخص وضعیت درجه حرارت منبع: رضایی مقدم و همکاران، ۱۳۹۱، به نقل از Bhuayan, ۲۰۰۸

| VCI&TCI&VHI | شدت خشکسالی | VCI&TCI&VHI | شدت خشکسالی |
|-------------|--------------|-------------|---------------|
| ۳۹-۳۰/۹ | نرمال | <۱۰ | خشکسالی حاد |
| ۴۹-۴۰/۵ | ترسالی متوسط | ۱۹-۱۰/۵ | خشکسالی شدید |
| ۵۹-۵۰/۵ | ترسالی شدید | ۲۹-۲۰/۵ | خشکسالی متوسط |
| >۶۰ | ترسالی حاد | | |

شاخص گیاهی تفاضل نرمال شده کاربرد گسترده ای جهت تشخیص مناطق دارای پوشش گیاهی سالم از ناسالم و مناطق عاری از پوشش دارد. این شاخص وضعیت پوشش گیاهی را بر روی سطح زمین در مناطق وسیع نشان می دهد. ارزش عددی شاخص پوشش گیاهی بین -۱ تا ۱ متغیر می باشد. ارزش های عددی مثبت مربوط به پوشش گیاهی متراکم و ارزش عددی صفر و مقادیر نزدیک به آن مربوط به مناطق بدون پوشش گیاهی است (Rouse et al, ۱۹۷۳).



شکل ۲. مدل مفهومی مطالعه خشکسالی

شرح و تفسیر نتایج

مطالعه پوشش گیاهی و دمای سطوح زمین اعم از جنگل‌ها، مراتع، مزارع و باغات به طور مستقیم در مطالعه خشکسالی‌های هواشناسی قرار می‌گیرد، با توجه به ارتباط متقابل میزان رشد پوشش‌های گیاهی با عناصر آب و هوایی، مطالعه آن‌ها می‌تواند از طرفی در تبیین شرایط آب و هوایی مفید باشد و از طرف دیگر تشریح نقش عناصر آب و هوایی در رویش آن‌ها بیان گردد. با افزایش دما تبخیر بالا رفته و بارندگی کاهش پیدا می‌کند این فرآیند به مرور باعث گسترش مراتع و بیابان‌ها می‌شود. در مناطق خشک علاوه بر کمبود باران، نوسان شدید بارندگی در طول مکان و زمان از ویژگی‌های مهم است. دوره‌های خشک و تر بر اثر تغییر در فراوانی و تاثیر گذاری الگوهای گردشی جو در یک منطقه ایجاد می‌شوند. کمبود بارش بر رطوبت خاک، جریان سطحی، ذخیره منابع و سطح آب‌های زیرزمینی و غیره در مقیاس‌های زمانی متفاوت اثر می‌گذارد. در مقیاس زمانی کوتاه مدت، این کمبود عمدتاً بر روی وضعیت رطوبت خاک اثر می‌گذارد. خشکسالی‌ها در مقیاس زمانی کوتاه مدت از تداوم زیادی برخوردار نبوده و شدیداً تحت تاثیر بارندگی ماهانه می‌باشند. در حالی که خشکسالی در دوره‌های زمانی بلند مدت واکنش بسیار کندتری نسبت به تغییرات بارش نشان می‌دهند. بنابراین تداوم خشکسالی طی دوره‌های بلند مدت بیشتر از دوره‌های کوتاه مدت است. نتایج به دست آمده از شاخص وضعیت درجه حرارت مقادیر نسبتاً بالای این شاخص با توزیع مکانی مختلف در هر سه ماه با میانگین ۱۷ ساله در نواحی مختلف استان‌ها را نشان می‌دهد. شرایط دمایی سطحی کم نوسان، ولی تفاوت‌های زیاد در میزان

پوشش گیاهی در ماه های متمایز و زمین های با پوشش گیاهی متنوع در استان ها را می توان دلیل این امر دانست. خشکسالی، به عنوان پدیده ای تاثیرگذار بر پوشش گیاهی، ارتباط مستقیم با بارندگی و ارتباط معکوس با دما دارد. به عبارت دیگر با افزایش دما و کاهش بارندگی، باید انتظار شدیدتر شدن تاثیر خشکسالی بر پوشش گیاهی منطقه را داشت. بی نظمی بارش ها در کشور علل خصوص در استان های مورد مطالعه نسبتاً زیاد است، طوریکه بیشتر بارش ها در نیمه سرد سال و نه در دوره رشد محصولات ریزش می کنند و یا در اکثر مناطق خشک داخلی بخش غالبی از ریزش بارش های سالانه در یک روز می باشند. این شرایط حکایت از بی نظمی بالای بارش ها از نظر زمانی و مکانی دارد. روند فضایی خشکسالی کشور و مناطق مورد مطالعه نشان می دهد، نقش عوامل سینوپتیک و الگوهای جوی در وقوع خشکسالی های کوتاه مدت و بلندمدت در منطقه غالب بوده و ورود و یا عدم ورود توده های مرطوب از غرب در ارتباط با الگوی بادهای غربی و خصوصاً تراف شرق دریای مدیترانه، وقوع خشکسالی در کشور و منطقه را موجب می شود. داده های ایستگاه های مختلف سینوپتیکی برداشت می شوند کاربردهای فراوانی در زمینه تصحیح برآورد پارامترهای مربوط از داده های ماهواره ای دارند. استفاده از شاخص های پوشش گیاهی به منظور تحلیل شرایط هوا در کوتاه مدت از کارایی لازم برخوردار نیست، ولی برعکس در تحلیل شرایط آب و هوایی یک منطقه بسیار مؤثر است. به طور مسلم میزان رشد گیاه تابعی است از میزان بارش و میزان دما در یک منطقه؛ بدین سان در برخی از سال ها پوشش های جنگلی و مرتعی از رشد خوبی برخوردار بوده و در برخی از سال ها به دلیل عدم رخداد بارش و یا تغییرات منفی دما از رشد کافی برخوردار نبوده و هر دوی این عوامل موجب تنش های منفی در گیاه می شوند. با توجه به این موضوع عدم رویش کافی گیاهان به دلیل عدم رخداد شرایط مناسب بارشی موجب ایجاد خشکسالی ها در مناطق می شود که به همین دلیل استفاده از تصاویر ماهواره ای ابزار خوبی برای پیش آگهی خشکسالی محسوب می گردد. پوشش های گیاهی مناطق خشک و نیمه خشک ساختار و فنولوژی بسیار پیچیده ای دارند و نسبت به شرایط اقلیمی و ناهنجاری های آن نیز بسیار حساس اند. همین مسئله به تحت تأثیر قرار گرفتن مقدار بازتابندگی ثبت شده به وسیله سنجنده های ماهواره ای منجر می شود.

جدول ۳. مقادیر شاخص های VHI, VCI, TCI, SPI در ایستگاه های استان اصفهان

| JUN | | | | MAY | | | | APR | | | | ایستگاه سینوپتیک |
|-------|-------|-------|-------|-------|-------|-------|-------|-------|-------|-------|-------|---------------------|
| VCI | VHI | TCI | SPI | VHI | VCI | TCI | SPI | VHI | VCI | TCI | SPI | |
| ۳۱.۲۶ | ۳۴.۱۱ | ۳۶.۷۸ | -۰.۲۸ | ۵۲.۶ | ۳۶.۳۳ | ۶۸.۸۶ | ۰.۶۴ | ۳۲.۶۹ | ۲۹.۶ | ۳۵.۷۴ | ۰.۳۸ | اراک |
| ۲۸.۳۴ | ۲۸.۷۶ | ۲۹.۲۱ | -۱.۰۱ | ۴۳.۲۵ | ۲۸.۷۲ | ۵۷.۷۸ | -۱.۴۶ | ۲۸.۰۴ | ۲۷.۶۵ | ۲۸.۶۳ | -۱.۴۰ | کاشان |
| ۲۵.۲۸ | ۲۶.۹۳ | ۲۸.۶۴ | -۰.۹۶ | ۴۲.۱۱ | ۲۶.۰۶ | ۵۸.۱۷ | -۱.۲۹ | ۲۷.۱۱ | ۲۵.۱۷ | ۲۹.۰۶ | -۰.۸۸ | ساوه |
| ۴۰.۳۹ | ۴۱.۹۱ | ۴۳.۷۶ | -۱.۱۵ | ۶۰.۲۹ | ۴۵.۰۷ | ۷۵.۵ | .۱ | ۳۹.۴۷ | ۳۵.۶۳ | ۴۳.۴۷ | -۰.۱۰ | تفرش |
| ۳۳.۷۸ | ۳۵.۰۷ | ۳۶.۳۲ | ۱.۱۱ | ۵۴.۵۷ | ۳۹.۵۷ | ۶۹.۵۷ | ۰.۰۴ | ۳۳.۱۸ | ۲۹.۷۵ | ۳۶.۷۹ | ۱.۶۲ | خمین |
| ۲۵.۳ | ۲۷.۹۲ | ۳۰.۴۵ | ۰.۴۳ | ۴۳.۸۱ | ۲۶.۵۸ | ۶۱.۰۵ | -۰.۸۳ | ۲۸.۷۲ | .۲۵ | ۳۲.۲۷ | -۰.۶۷ | دلیجان |
| ۳۶.۰۴ | ۳۵.۳۴ | ۳۴.۶۸ | -۰.۲۹ | ۵۴.۲۳ | ۴۰.۵۵ | ۶۷.۹ | ۰.۳۹ | ۳۳.۴۷ | ۳۳.۳ | ۳۳.۵۷ | ۰.۲۱ | کمیجان |
| ۳۱.۴۱ | ۳۴.۱۷ | ۳۶.۸۷ | -۰.۰۲ | ۵۱.۷۶ | ۳۴.۱۷ | ۶۹.۳۴ | ۰.۶۶ | ۳۲.۶۶ | ۲۹.۸۹ | ۳۵.۴۷ | ۰.۸۹ | خنداب |
| ۳۲.۸۴ | ۳۵.۴۹ | ۳۸.۲۴ | ۰.۰۹ | ۵۴.۶۵ | ۴۰.۲۳ | ۶۹.۰۶ | -۰.۱۴ | ۳۵.۱۵ | ۳۰.۵۷ | ۳۹.۵۵ | -۰.۳۴ | غرق آباد |
| ۲۵.۴۱ | ۲۹.۳۷ | ۳۳.۳۵ | ۲.۲۶ | ۴۵.۴۲ | ۲۶.۱۶ | ۶۴.۶۹ | -۰.۷۴ | ۲۹.۲۸ | ۲۵.۱۲ | ۳۳.۴۷ | -۱.۰۸ | محلات |
| ۴۷.۲۸ | ۴۴.۵۳ | ۴۱.۷۵ | -۰.۱۸ | ۶۴.۸۵ | ۵۳.۴ | ۷۶.۳ | ۱.۷۲ | ۳۹.۴۲ | ۳۹.۰۴ | ۳۹.۶۲ | ۱.۳۸ | شازند |
| -۰.۲۸ | -۰.۲۰ | -۰.۰۸ | | ۰.۹۲ | ۰.۸۷ | ۰.۹۴ | | ۰.۳۷ | ۰.۳۳ | ۰.۳۴ | | ضریب همبستگی پیرسون |

جدول ۴. مقادیر شاخص های SPI,TCI,VCI,VHI در ایستگاه‌های استان مرکزی

| JUN | | | | MAY | | | | APR | | | | ایستگاه سینوپتیک |
|-------|-------|-------|-------|-------|-------|-------|-------|-------|-------|-------|-------|---------------------|
| VCI | VHI | TCI | SPI | VHI | VCI | TCI | SPI | VHI | VCI | TCI | SPI | |
| ۲۴.۰۹ | ۲۶.۴۵ | ۲۸.۸۱ | -۰.۸ | ۴۰.۱۷ | ۲۴.۰۹ | ۵۶.۲۵ | -۱.۳۵ | ۲۶.۹۱ | ۲۴.۱۳ | ۲۹.۶۸ | -۱.۱۷ | خور و بیابانک |
| ۴۷.۱۹ | ۴۵.۰۹ | ۴۳.۰۴ | -۰.۱ | ۶۳.۱۲ | ۵۲.۲۴ | ۷۲.۹۹ | -۱.۳۳ | ۴۱.۱۸ | ۳۹.۳۱ | ۴۲.۹۷ | -۱.۱۳ | کبوتر آباد |
| ۴۳.۴۳ | ۴۴.۸۲ | ۴۶.۳ | -۰.۵۳ | ۵۵.۶۶ | ۳۹.۷۹ | ۷۱.۵۲ | -۱.۲۷ | ۵۱.۰۳ | ۵۱.۰۵ | ۵۱.۰۴ | -۱.۱۴ | داران |
| ۲۴.۰۴ | ۲۳.۷۳ | ۲۳.۴۵ | -۰.۵۵ | ۳۸.۷۷ | ۲۴.۶۲ | ۵۲.۹۲ | -۱.۳۴ | ۲۳.۴۹ | ۲۳.۷۶ | ۲۳.۲۵ | -۱.۱۶ | اردستان |
| ۵۰.۶۵ | ۴۶.۱۷ | ۴۱.۶ | -۰.۸۴ | ۶۴.۲۸ | ۵۶.۲۳ | ۷۲.۳۳ | -۱.۲۹ | ۴۴.۹۲ | ۴۷.۴۱ | ۴۲.۲۱ | -۱.۱۳ | گلیپانگان |
| ۲۴.۲۲ | ۲۳.۵۶ | ۲۲.۹۸ | -۰.۴۸ | ۳۸.۷۹ | ۲۴.۰۲ | ۵۳.۵۶ | -۱.۳۴ | ۲۳.۸۳ | ۲۴.۳۵ | ۲۳.۴ | -۱.۱۶ | نائین |
| ۲۵.۲۴ | ۲۸.۸۲ | ۳۲.۳۹ | -۰.۲۱ | ۴۴.۶۳ | ۲۶.۴۷ | ۶۲.۷۸ | -۱.۳۲ | ۲۸.۵۵ | ۲۴.۴۸ | ۳۲.۶۵ | -۱.۱۶ | نطنز |
| ۲۶.۱۸ | ۲۷.۶۴ | ۲۹.۰۴ | -۰.۲۷ | ۴۳.۶۵ | ۲۶.۸۳ | ۶۰.۴۶ | -۱.۳۲ | ۲۷.۹۲ | ۲۵.۹۵ | ۲۹.۸۱ | -۱.۱۶ | شهرضا |
| ۳۳.۷۴ | ۳۴.۶۷ | ۳۵.۵۳ | -۰.۸ | ۵۷.۳ | ۴۶.۴۲ | ۶۸.۱۷ | -۱.۲۴ | ۳۳.۵۸ | ۳۱.۱۶ | ۳۶.۰۱ | -۱.۱۴ | لردگان |
| ۴۱.۵۶ | ۳۸ | ۳۵.۹۳ | ۱.۰۳ | ۵۵.۲۴ | ۴۲.۱۱ | ۶۸.۳۷ | -۱.۳۲ | ۳۴.۴ | ۳۳.۱۷ | ۳۵.۴۴ | -۱.۱۲ | میمه |
| ۴۶.۱۴ | ۴۰.۸۸ | ۳۵.۸۸ | -۰.۴۸ | ۵۹.۳۳ | ۵۱.۶۲ | ۶۷.۰۳ | -۱.۳۲ | ۳۸.۱۲ | ۴۰.۶۲ | ۳۵.۳۸ | -۱.۱۵ | ورزنه |
| ۳۱.۹۸ | ۳۵.۵۲ | ۳۹.۰۹ | -۰.۸۹ | ۵۲.۱۳ | ۳۳.۶۸ | ۷۰.۵۹ | -۱.۱۹ | ۳۴.۶۳ | ۳۰.۵۱ | ۳۸.۷۴ | -۱.۱۴ | سمیرم |
| ۲۲.۶۱ | ۲۳.۳ | ۲۴ | -۰.۳۱ | ۳۹.۰۶ | ۲۳.۱۸ | ۵۴.۹۴ | -۱.۳۱ | ۲۳.۳۵ | ۲۲.۷ | ۲۳.۹۷ | -۱.۱۱ | مورچه خورت |
| ۲۹.۷۸ | ۳۰.۳۶ | ۳۰.۹۲ | -۰.۳۶ | ۴۷.۳۵ | ۳۲.۵۱ | ۶۲.۱۹ | -۱.۳۳ | ۳۰.۸۶ | ۲۹.۸ | ۳۱.۹۲ | -۱.۱۳ | اصفهان (ازن سنجی) |
| ۴۹.۶۹ | ۴۷.۶۲ | ۴۵.۹۱ | ۲.۵۹ | ۶۱.۹۲ | ۴۷.۶۸ | ۷۶.۱۶ | -۱ | ۴۳.۹۲ | ۴۳.۸۹ | ۴۴.۴۵ | -۱.۰۲ | فریدونشهر |
| ۲۸.۸۷ | ۳۱.۲۹ | ۳۳.۷۱ | -۰.۶۲ | ۴۶.۶۵ | ۲۹.۸ | ۶۳.۵ | -۱.۳ | ۳۱.۹۷ | ۲۸.۶ | ۳۵.۲۹ | -۱.۱۶ | نجف آباد |
| ۵۹.۴۱ | ۵۳.۶۸ | ۴۸.۰۸ | -۰.۲۱ | ۶۹.۴۸ | ۶۰.۲۱ | ۷۸.۷۶ | -۱.۲۴ | ۵۲.۶۴ | ۵۶.۷۴ | ۴۸.۵۲ | -۱.۱۱ | خوانسار |
| ۲۸.۹۵ | ۲۹.۵۶ | ۳۰.۱۸ | -۰.۶۴ | ۴۵.۵۵ | ۲۹.۸۹ | ۶۱.۲۱ | -۱.۲۹ | ۳۰.۷۶ | ۲۹.۱۱ | ۳۲.۲۶ | -۱.۱۶ | زرین شهر |
| ۲۵.۶۶ | ۲۲.۰۷ | ۱۸.۷ | -۰.۸۸ | ۳۶.۷۶ | ۲۵.۷۷ | ۴۷.۷۵ | -۱.۳۴ | ۲۱.۹ | ۲۵.۰۷ | ۱۸.۷۷ | -۱.۱۷ | چوپانان |
| ۳۲.۵۹ | ۳۵.۳۸ | ۳۸.۲۴ | -۰.۸۷ | ۵۰.۰۲ | ۳۴.۱۳ | ۶۵.۹ | -۱.۳۱ | ۳۷.۹۱ | ۳۳.۴۸ | ۴۱.۹ | -۱.۱۴ | مبارکه |
| ۳۲.۴۱ | ۳۶.۳۸ | ۴۰.۲۹ | ۲.۷۱ | ۵۳.۳ | ۳۴.۵۹ | ۷۲.۰۱ | -۱.۲۷ | ۳۶.۳۳ | ۳۰.۸ | ۴۱.۸۷ | -۱.۱ | آشتیان |
| ۲۵.۵۶ | ۲۷.۳۹ | ۲۹.۱۶ | -۰.۰۴ | ۴۳.۷۸ | ۲۶.۲۸ | ۶۱.۲۷ | -۱.۳۴ | ۲۷.۱۱ | ۲۴.۸۳ | ۲۹.۴۹ | -۱.۱۷ | دهق |
| ۳۰.۶۹ | ۳۳.۳۷ | ۳۵.۷۹ | -۰.۵۹ | ۴۸.۸۳ | ۳۰.۳۹ | ۶۷.۲۶ | -۱.۳۱ | ۳۲.۵۷ | ۲۸.۹۹ | ۳۶.۰۷ | -۱.۱۴ | چادگان |
| ۰.۴۳ | ۰.۴۸ | ۰.۵ | | ۰.۵ | ۰.۴۱ | ۰.۵۸ | | ۰.۴۹ | ۰.۴۶ | ۰.۴۹ | | ضریب همبستگی پیرسون |

جدول ۵. مقادیر شاخص های SPI,TCI,VCI,VHI در ایستگاه‌های استان قم

| JUN | | | | MAY | | | | APR | | | | ایستگاه سینوپتیک |
|-------|-------|-------|-------|-------|-------|-------|-------|-------|-------|-------|-------|---------------------|
| VCI | VHI | TCI | SPI | VHI | VCI | TCI | SPI | VHI | VCI | TCI | SPI | |
| ۲۵.۰۳ | ۲۵.۲۵ | ۲۵.۴۴ | ۰.۶۷ | ۳۹.۳۱ | ۲۵.۴۶ | ۵۳.۱۷ | -۰.۵۷ | ۲۶.۱۳ | ۲۵.۰۸ | ۲۷.۴۲ | -۰.۴۹ | قم |
| ۲۴.۶۱ | ۲۷.۲۷ | ۲۹.۹۸ | -۰.۱۹ | ۴۳.۷۱ | ۲۶.۲۵ | ۶۱.۱۷ | ۰.۴۴ | ۲۷.۵ | ۲۳.۸۴ | ۳۱.۲۸ | ۱.۶۱ | سلفچگان |
| ۲۴.۶۳ | ۲۸.۹۴ | ۳۳.۲۶ | ۱.۲۷ | ۴۳.۷۹ | ۲۵.۹۱ | ۶۱.۶۶ | ۰.۴ | ۲۹.۶۶ | ۲۴.۱۷ | ۳۵.۲۴ | ۰.۱۲ | کهنک |
| ۲۱.۸۳ | ۲۱.۸۵ | ۲۱.۹۳ | -۰.۴۴ | ۳۷.۴۲ | ۲۲.۱ | ۵۲.۷۴ | -۱.۴۲ | ۲۱.۳۳ | ۲۱.۸ | ۲۰.۸۶ | -۱.۰۷ | کوشک نصرت |
| ۲۸.۷۲ | ۲۷.۹۹ | ۲۷.۴ | -۱.۳۱ | ۴۳.۹۹ | ۳۲.۲۱ | ۵۵.۷۷ | ۱.۱۵ | ۲۸.۹ | ۲۸.۸۳ | ۲۸.۸۱ | -۰.۱۸ | کوه سفید |
| -۰.۳۹ | ۰.۱۹ | ۰.۴۶ | | ۰.۴۴ | -۰.۱۲ | ۰.۷۴ | | ۰.۶۱ | ۰.۲۴ | ۰.۶۴ | | ضریب همبستگی پیرسون |

جدول ۶. مقادیر شاخص های SPI, TCI, VCI, VHI در ایستگاه‌های استان چهارمحال بختیاری

| JUN | | | | MAY | | | | APR | | | | ایستگاه سینوپتیک |
|-------|-------|-------|-------|-------|-------|-------|-------|-------|-------|-------|-------|---------------------|
| VCI | VHI | TCI | SPI | VHI | VCI | TCI | SPI | VHI | VCI | TCI | SPI | |
| ۳۷.۹۸ | ۳۷.۹۶ | ۳۷.۸۷ | -۰.۳۱ | ۵۷.۶۱ | ۴۲.۶۹ | ۷۲.۵۴ | -۰.۵۸ | ۳۵.۷۸ | ۳۲.۷۵ | ۳۸.۷۴ | -۰.۵۳ | شهرکرد |
| ۳۵.۲۳ | ۳۷.۶۱ | ۳۹.۷۸ | -۱.۹۷ | ۵۷.۵۸ | ۴۱.۴۲ | ۷۳.۷۴ | -۰.۱۳ | ۳۵.۱۶ | ۳۱.۲۹ | ۳۹.۰۲ | ۰.۰۱ | اردل |
| ۴۲.۵۵ | ۴۶.۳۵ | ۵۰ | ۰.۷۸ | ۶۰.۷۳ | ۴۱.۵ | ۷۹.۹۷ | ۲.۰۹ | ۴۴.۰۸ | ۴۰.۰۶ | ۴۷.۹۷ | ۲.۱۶ | کوهرنگ |
| ۳۰.۷۸ | ۳۳ | ۳۵.۲۳ | ۰.۵۱ | ۴۹.۵۶ | ۳۱.۶ | ۶۷.۵۲ | -۰.۹۸ | ۳۲.۳۷ | ۲۹.۱۳ | ۳۵.۵۷ | -۰.۸۱ | بروجن |
| ۳۲.۱۴ | ۳۳.۴۱ | ۳۴.۶۵ | ۰.۵۴ | ۵۱.۳۵ | ۳۴.۸۷ | ۶۷.۸۳ | -۰.۵۲ | ۳۲.۱ | ۲۹.۶۶ | ۳۴.۵۸ | -۰.۳۱ | سامان |
| ۳۶.۶۹ | ۳۷.۶۴ | ۳۸.۷۷ | -۰.۴۰ | ۵۵.۵۱ | ۴۰.۳۵ | ۷۰.۶۷ | -۰.۰۷ | ۳۷.۴۹ | ۳۵.۴۶ | ۳۹.۷۵ | -۰.۵۳ | فرخ شهر |
| ۴۲.۹۶ | ۴۳.۰۹ | ۴۲.۸۱ | ۰.۸۴ | ۶۱.۸ | ۴۸ | ۷۵.۶۱ | ۰.۱۹ | ۴۰.۴۸ | ۴۰.۰۳ | ۴۰.۸۶ | ۰.۰۱ | فارسان |
| ۰.۲۴ | ۰.۲۳ | ۰.۲ | | ۰.۶ | ۰.۳۳ | ۰.۸۳ | | ۰.۵۱ | ۰.۴۲ | ۰.۵۸ | | ضریب همبستگی پیرسون |

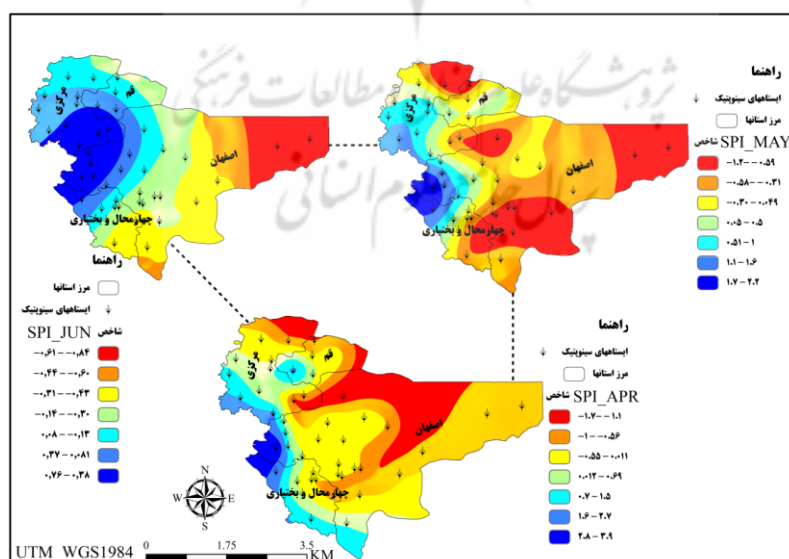
با توجه به مقادیر جدول شماره (۳) ضریب همبستگی در ماه آوریل بین شاخص سلامت پوشش گیاهی و بارش استاندارد شده برابر با ۰/۴۶ که دارای همبستگی مثبت معنادار کم، شاخص وضعیت درجه حرارت و وضعیت پوشش گیاهی برابر با ۰/۴۹ که دارای همبستگی مثبت معنادار نسبتاً زیاد بوده است بنابراین شاخص وضعیت پوشش گیاهی و شاخص وضعیت درجه حرارت همبستگی بیشتری را با بارش سه ماهه داشته و نتایج قابل قبولی نسبت به شاخص سلامت پوشش گیاهی داشته است. ضریب همبستگی در ماه ژوئن بین شاخص وضعیت پوشش گیاهی و بارش استاندارد شده برابر با ۰/۴۳ که دارای همبستگی مثبت معنادار کم، شاخص سلامت پوشش گیاهی و بارش استاندارد شده برابر با ۰/۴۸ که دارای همبستگی مثبت معنادار نسبتاً زیاد بوده است. شاخص وضعیت درجه حرارت و بارش استاندارد شده برابر با ۰/۵۰ که نشان دهنده همبستگی مثبت معنادار زیاد می‌باشد. بنابراین شاخص وضعیت درجه حرارت همبستگی بیشتری را با بارش سه ماهه داشته و نتایج قابل قبولی نسبت به شاخص وضعیت پوشش گیاهی و سلامت پوشش گیاهی داشته است. ضریب همبستگی در ماه می بین شاخص وضعیت پوشش گیاهی بارش استاندارد شده برابر با ۰/۴۱ که دارای همبستگی مثبت معنادار کم، شاخص وضعیت پوشش گیاهی و بارش استاندارد شده برابر با ۰/۵۰ که دارای همبستگی مثبت معنادار نسبتاً زیاد بوده است. شاخص وضعیت درجه حرارت و بارش استاندارد شده برابر با ۰/۵۸ که نشان دهنده همبستگی مثبت معنادار زیاد می‌باشد. بنابراین شاخص وضعیت درجه حرارت همبستگی بیشتری را با بارش سه ماهه داشته و نتایج قابل قبولی نسبت به شاخص سلامت پوشش گیاهی و وضعیت پوشش گیاهی داشته است.

با توجه به مقادیر جدول شماره (۴) ضریب همبستگی در ماه آوریل بین شاخص سلامت پوشش گیاهی و بارش استاندارد شده برابر با ۰/۳۳ که دارای همبستگی مثبت معنادار کم، شاخص وضعیت درجه حرارت و بارش استاندارد شده برابر با ۰/۳۴ که دارای همبستگی مثبت معنادار نسبتاً زیاد بوده است. شاخص وضعیت پوشش گیاهی و بارش استاندارد شده برابر با ۰/۳۸ که نشان دهنده همبستگی مثبت معنادار زیاد می‌باشد. بنابراین شاخص وضعیت پوشش گیاهی برای استان مرکزی همبستگی بیشتری را با بارش سه ماهه داشته و نتایج قابل قبولی نسبت به شاخص سلامت پوشش گیاهی و وضعیت پوشش گیاهی داشته است. ضریب همبستگی در ماه می بین شاخص سلامت پوشش گیاهی و بارش استاندارد شده برابر با ۰/۸۷ که دارای همبستگی مثبت معنادار زیاد، شاخص وضعیت پوشش گیاهی و بارش استاندارد شده برابر با ۰/۹۲ که دارای همبستگی مثبت معنادار خیلی زیاد بوده است. شاخص وضعیت درجه حرارت و

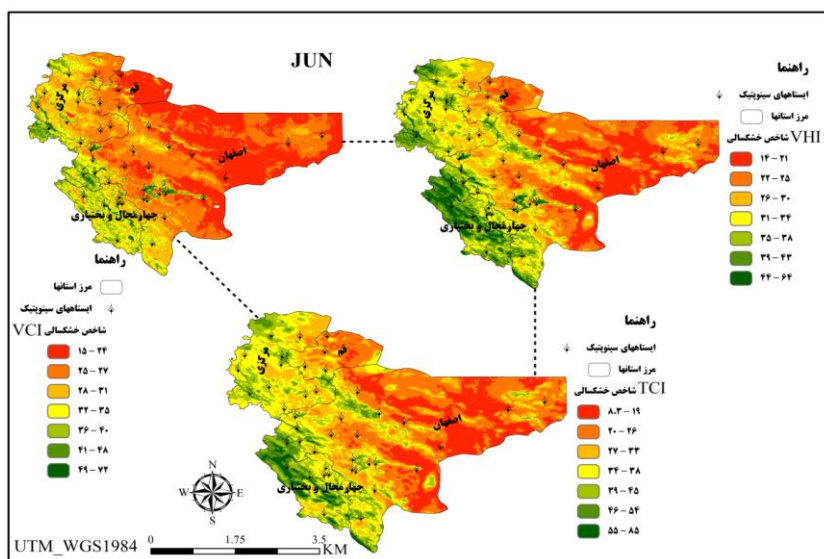
بارش استاندارد شده برابر با ۰/۹۴ که نشان دهنده همبستگی مثبت معنادار بسیار زیاد می‌باشد. بنابراین شاخص وضعیت درجه حرارت برای استان مرکزی همبستگی بیشتری را با بارش سه ماهه داشته و نتایج قابل قبولی نسبت به شاخص سلامت پوشش گیاهی و وضعیت پوشش گیاهی داشته است. ضریب همبستگی در ماه ژوئن بین شاخص سلامت پوشش گیاهی و بارش استاندارد شده برابر با ۰/۲۸- که دارای همبستگی منفی زیاد، شاخص وضعیت پوشش گیاهی و بارش استاندارد شده برابر با ۰/۲۰- که دارای همبستگی منفی نسبتاً زیاد بوده است. شاخص وضعیت درجه حرارت و بارش استاندارد شده برابر با ۰/۰۸- که نشان دهنده همبستگی منفی کم می‌باشد. بنابراین شاخص وضعیت درجه حرارت برای استان مرکزی همبستگی منفی کمتری را با بارش سه ماهه داشته و نتایج قابل قبولی نسبت به شاخص سلامت پوشش گیاهی و وضعیت پوشش گیاهی داشته است.

با توجه به مقادیر جدول شماره (۵) ضریب همبستگی در ماه آوریل بین شاخص سلامت پوشش گیاهی و بارش استاندارد شده برابر با ۰/۲۴ که دارای همبستگی مثبت معنادار کم، شاخص وضعیت پوشش گیاهی و بارش استاندارد شده برابر با ۰/۶۱ که دارای همبستگی مثبت معنادار نسبتاً زیاد بوده است. شاخص وضعیت درجه حرارت و بارش استاندارد شده برابر با ۰/۶۴ که نشان دهنده همبستگی مثبت معنادار زیاد می‌باشد. بنابراین شاخص وضعیت درجه حرارت برای استان قم همبستگی بیشتری را با بارش سه ماهه داشته و نتایج قابل قبولی نسبت به شاخص سلامت پوشش گیاهی و وضعیت پوشش گیاهی داشته است. ضریب همبستگی در ماه می بین شاخص سلامت پوشش گیاهی و بارش استاندارد شده برابر با ۰/۱۲- که دارای همبستگی منفی زیاد، شاخص وضعیت پوشش گیاهی و بارش استاندارد شده برابر با ۰/۴۴ که دارای همبستگی مثبت معنادار نسبتاً زیاد بوده است. شاخص وضعیت درجه حرارت و بارش استاندارد شده برابر با ۰/۷۴ که نشان دهنده همبستگی مثبت معنادار زیاد می‌باشد. بنابراین شاخص وضعیت درجه حرارت برای استان قم همبستگی بیشتری را با بارش سه ماهه داشته و نتایج قابل قبولی نسبت به شاخص سلامت پوشش گیاهی و وضعیت پوشش گیاهی داشته است. ضریب همبستگی در ماه ژوئن بین شاخص سلامت پوشش گیاهی و بارش استاندارد شده برابر با ۰/۳۹- که دارای همبستگی منفی نسبتاً زیاد، شاخص وضعیت پوشش گیاهی و بارش استاندارد شده برابر با ۰/۱۹ که دارای همبستگی مثبت کم بوده است. شاخص وضعیت درجه حرارت و بارش استاندارد شده برابر با ۰/۴۶ که نشان دهنده همبستگی مثبت معناداری را با بارش سه ماهه داشته و نتایج قابل قبولی نسبت به شاخص سلامت پوشش گیاهی و وضعیت پوشش گیاهی داشته است. با توجه به مقادیر جدول شماره (۶) ضریب همبستگی در ماه آوریل بین شاخص سلامت پوشش گیاهی و بارش استاندارد شده برابر با ۰/۴۲ که دارای همبستگی مثبت معنادار کم، شاخص وضعیت پوشش گیاهی و بارش استاندارد شده برابر با ۰/۵۱ که دارای همبستگی مثبت معنادار نسبتاً زیاد بوده است. شاخص وضعیت درجه حرارت و بارش استاندارد شده برابر با ۰/۵۸ که نشان دهنده همبستگی مثبت معنادار زیاد می‌باشد. بنابراین شاخص وضعیت درجه حرارت برای استان چهارمحال بختیاری همبستگی بیشتری را با بارش سه ماهه داشته و نتایج قابل قبولی نسبت به شاخص سلامت پوشش گیاهی و وضعیت پوشش گیاهی داشته است. ضریب همبستگی در ماه می بین شاخص سلامت پوشش گیاهی و بارش استاندارد شده برابر با ۰/۳۳ که دارای همبستگی مثبت نسبتاً زیاد، شاخص وضعیت پوشش گیاهی و بارش استاندارد شده برابر با ۰/۶۰ که دارای همبستگی مثبت معنادار زیاد بوده است. شاخص وضعیت درجه حرارت و بارش استاندارد شده برابر با ۰/۸۳ که نشان دهنده

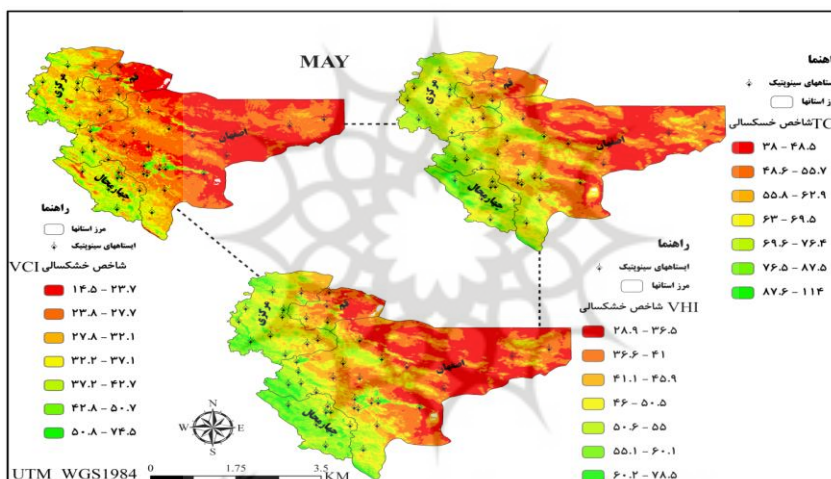
همبستگی مثبت معنادار خیلی زیاد می‌باشد. بنابراین شاخص وضعیت درجه حرارت برای استان چهارمحال بختیاری همبستگی بیشتری را با بارش سه ماهه داشته و نتایج قابل قبولی نسبت به شاخص سلامت پوشش گیاهی و وضعیت پوشش گیاهی داشته است. ضریب همبستگی در ماه ژوئن بین شاخص سلامت پوشش گیاهی و بارش استاندارد شده برابر با ۰/۲۴ که دارای همبستگی مثبت کم، شاخص وضعیت پوشش گیاهی و بارش استاندارد شده برابر با ۰/۲۳ که دارای همبستگی مثبت کم بوده است. شاخص وضعیت درجه حرارت و بارش استاندارد شده برابر با ۰/۲۰ که نشان دهنده همبستگی کم می‌باشد. بنابراین شاخص سلامت پوشش گیاهی برای استان چهارمحال بختیاری همبستگی مثبت معناداری را با بارش سه ماهه داشته و نتایج قابل قبولی نسبت به شاخص وضعیت درجه حرارت و وضعیت پوشش گیاهی داشته است. وضعیت بارش در دوره‌های مختلف تغییراتی داشته و برای بیشتر دوره‌ها کم بوده و به شکل ثابت بوده است. مقدار p-value برای شاخص‌های خشکسالی برآورد شده در سه ماه آوریل، می و ژوئن روند رو به خشکی را بیان می‌کند. در واقع با توجه به مقادیر جداول فوق الذکر می‌توان چنین استنباط کرد مناطقی که از وضعیت مناسبی (پوشش گیاهی) نسبت به خشکسالی برخوردارند، دارای منشا بارندگی کوهستانی هستند. در حقیقت بارندگی کوهستانی جزئی از مجموع بارندگی است که در نتیجه اثر کوهستانی در مکانیسم سیکلونی و عروجی حاصل می‌گردد این امر تا حدود بسیار زیادی وابسته به سیستم چین خوردگی، پوشش‌های گیاهی، جهت و موقعیت آن و جهت برخورد آن با جریانات هواست، البته باید توجه داشت که تنها اثرات ارتفاعات بر میزان بارندگی به تنهایی براساس ارتفاع قابل قضاوت نیست، بلکه دما و پوشش گیاهی و رطوبت هوای درحالت صعود و همچنین سرعت و جهت باد در این امر نقش بسزایی دارند. در ادامه می‌توان چنین عنوان نمود که عناصر آب‌وهوایی چه به صورت منفرد و چه در حالت ترکیبی اثرات گوناگون و اجتناب ناپذیری برفعالیت‌های گوناگون دارند. باران‌های جبهه‌ای و کوهستانی که غالباً ریزدانه و منظم هستند و فرصت نفوذ در زمین را دارند، در ایجاد یا تغذیه آبخوانها و سفره‌های آب زیرزمینی نیز نقش مهمی را ایفا می‌کنند. نیمه‌غربی استانهای مورد مطالعه می‌تواند بیانگر این شرایط باشد.



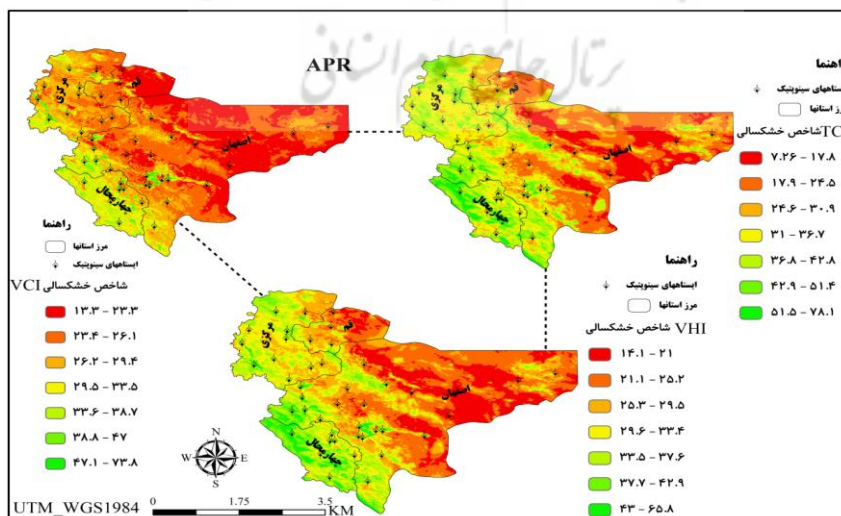
شکل ۳. خشکسالی حاصل از شاخص بارش استاندارد شده



شکل ۴. خشکسالی حاصل از شاخص‌های سنجش از دوری ماه ژوئن برای سال‌های ۲۰۰۰ تا ۲۰۱۷



شکل ۵. خشکسالی حاصل از شاخص‌های سنجش از دوری ماه می برای سال‌های ۲۰۰۰ تا ۲۰۱۷



شکل ۶. خشکسالی حاصل از شاخص‌های سنجش از دوری ماه آوریل برای سال‌های ۲۰۰۰ تا ۲۰۱۷

نتایج شاخص‌های خشکسالی سنجش‌ازدوری نشان می‌دهد که مقادیر پوشش گیاهی از تغییرات ماهانه نسبتاً زیاد برخوردار است. همان‌طور که شاخص‌ها نشان می‌دهند در هر سه ماه ارتباط معنادار مثبت در نیمه غربی محدوده قابل مشاهده است و به طرف جنوب و شرق میزان ضریب همبستگی کاهش نسبتاً زیادی می‌یابد و به مقادیر منفی نزدیک می‌شود. در کل کیفیت پوشش گیاهی پاسخی به عناصر آب و هوایی مانند افزایش یا کاهش بارش، دما و مقدار تابش آفتاب است، گیاهان پاسخ سریعی به تغییرات آب‌وهوا دارند، نور خورشید مهم‌ترین منبع تأمین انرژی برای فرایندهای زیستی در گیاهان است که برهم‌کنش آن به سه نوع اثر گرمایی، فتوسنتزی و فتومرفولوژیک منجر می‌شود. ارزش پایین شاخص‌ها معمولاً نشان‌دهنده گیاهان تنک یا بیمار و ارزش شاخص بالا بیان‌کننده حضور گیاهان متراکم و سالم است.

جدول ۷. مجموع درصد خشکسالی شاخص‌های سلامت پوشش گیاهی، وضعیت پوشش گیاهی و شاخص وضعیت درجه حرارت

| شدت خشکسالی | شاخص سلامت پوشش گیاهی | | | شاخص وضعیت درجه حرارت | | | شاخص وضعیت پوشش گیاهی | | |
|---------------|-----------------------|-------|-------|-----------------------|-------|-------|-----------------------|-------|-------|
| | ژوئن | می | آوریل | ژوئن | می | آوریل | ژوئن | می | آوریل |
| خشکسالی حاد | - | - | - | - | - | - | - | - | - |
| خشکسالی شدید | - | - | ۲۷.۳۸ | ۱۶.۶۶ | - | ۱۱.۳۸ | ۱۷.۲۴ | - | ۱۵.۸۴ |
| خشکسالی متوسط | ۶۰.۸۱ | ۵۶.۰۴ | ۴۹.۳۳ | ۲۳.۷۳ | - | ۳۹.۵ | ۴۰.۸۸ | - | ۴۱.۹۹ |
| نرمال | ۳۵.۲۱ | ۳۷.۷۱ | ۲۰.۱۶ | ۳۸.۷۴ | - | ۲۱.۴۷ | ۲۹.۰۹ | ۴۲.۵ | ۳۱.۰۹ |
| ترسالی متوسط | ۲.۹۹ | ۴.۷۲ | ۲.۴۹ | ۱۳.۲۲ | ۱۶.۲ | ۲۵.۱۳ | ۸.۲۸ | ۲۹.۴۲ | ۶.۹ |
| ترسالی شدید | ۰.۹۹ | ۱.۵۳ | ۰.۷ | ۵.۹۸ | ۲۳.۶۲ | - | ۴.۵۱ | ۲۳.۹۵ | ۳.۴۱ |
| ترسالی حاد | - | - | - | ۱.۶۷ | ۶۰.۱۸ | ۲.۵۹ | - | ۴.۴ | - |
| جمع | | | | | ۱۰۰ | | | | |

در جدول ۷ درصد هر یک از سطوح خشکسالی با استفاده از شاخص‌های سلامت پوشش گیاهی، وضعیت پوشش گیاهی و شاخص وضعیت درجه حرارت برای دوره زمانی ۲۰۰۰ تا ۲۰۱۷ آورده شده است. نتایج مربوط شاخص سلامت پوشش گیاهی به ترتیب در ماه می نشان داد ۵۶/۰۴ درصد در رده خشکسالی متوسط، ۳۷/۷۱ درصد در رده نرمال، ۴/۷۲ درصد در رده ترسالی متوسط، ۱/۵۳ درصد در رده ترسالی شدید قرار گرفته‌اند. در ماه آوریل نشان داد ۲۷/۳۸ درصد در رده خشکسالی شدید، ۳۳/۴۹ درصد در رده خشکسالی متوسط، ۲۰/۱۶ درصد در رده نرمال، ۲/۴۹ درصد در رده ترسالی متوسط و ۰/۷۰ درصد در رده ترسالی شدید قرار گرفته‌اند. در ماه ژوئن نشان داد ۶۰/۸۱ درصد در رده خشکسالی متوسط، ۳۵/۲۱ درصد در رده نرمال، ۲/۹۹ درصد در رده ترسالی متوسط و ۰/۹۹ درصد در رده ترسالی شدید قرار گرفته‌اند.

نتایج مربوط شاخص وضعیت درجه حرارت به ترتیب در ماه می نشان داد ۱۶/۲۰ درصد در رده ترسالی متوسط، ۲۳/۶۲ درصد در رده ترسالی شدید و ۶۰/۱۸ درصد در رده ترسالی حاد قرار گرفته‌اند. در ماه آوریل نشان داد ۱۱/۳۸ درصد در رده خشکسالی شدید، ۳۹/۵ درصد در رده خشکسالی متوسط، ۲۱/۴۷ درصد در رده نرمال، ۲۵/۱۳ درصد در رده ترسالی متوسط و ۲/۵۹ درصد در رده ترسالی حاد قرار گرفته‌اند. در ماه ژوئن نشان داد ۱۶/۶۶ درصد

در رده خشکسالی شدید، ۲۳/۷۳ درصد در رده خشکسالی متوسط، ۳۸/۷۴ درصد در رده نرمال، ۱۳/۲۲ درصد در رده ترسالی متوسط، ۵/۹۸ درصد در رده ترسالی شدید و ۱/۶۷ درصد در رده ترسالی حاد قرار گرفته‌اند. نتایج مربوط شاخص سلامت پوشش گیاهی به ترتیب در ماه می نشان داد ۴۲/۵ درصد در رده نرمال، ۲۹/۴۲ درصد در رده ترسالی متوسط و ۲۳/۹۵ درصد در رده ترسالی شدید و ۴/۴۰ درصد در رده ترسالی حاد قرار گرفته‌اند. در ماه آوریل نشان داد ۱۵/۸۴ درصد در رده خشکسالی شدید، ۴۱/۹۹ درصد در رده خشکسالی متوسط، ۳۱/۰۹ درصد در رده نرمال، ۶/۹۰ درصد در رده ترسالی متوسط و ۳/۴۱ درصد در رده ترسالی شدید قرار گرفته‌اند. در ماه ژوئن نشان داد ۱۷/۲۴ درصد در رده خشکسالی شدید، ۴۰/۸۸ درصد در رده خشکسالی متوسط، ۲۹/۰۹ درصد در رده نرمال، ۸/۲۸ درصد در رده ترسالی متوسط، ۴/۵۱ درصد در رده ترسالی شدید قرار گرفته‌اند.

همانگونه که مشاهده می‌شود، نتایج شاخص‌ها متفاوت است، بنابراین باید از یک معیار برای ارزیابی کارایی این شاخص‌ها استفاده می‌شد. با توجه به نتایج همبستگی‌ها شاخص وضعیت درجه حرارت با شاخص بارش استاندارد شده از همبستگی قوی نسبت به سایر شاخص‌ها برخوردار بوده است. این شاخص در بازه کوتاه مدت با شاخص‌های حرارتی در سطح ۱ درصد بیشترین همبستگی را نشان می‌دهد. با افزایش بازه زمانی همبستگی بین شاخص خشکسالی اقلیمی با شاخص‌های محتوای آب گیاه و شاخص‌های حرارتی بیشتر می‌شود. همبستگی مثبت بین شاخص‌های پوشش گیاهی و محتوای آب گیاه با شاخص‌های خشکسالی اقلیمی بیانگر همسو بودن روند تغییرات است. بنابراین شاخص وضعیت درجه حرارت خشکسالی را دقیق‌تر نشان داده و روش مناسب‌تری برای برآورد خشکسالی می‌باشد.

نتیجه‌گیری

خشکسالی عمده‌ترین مشکل مناطق خشک و نیمه‌خشک می‌باشد و تنوع بسیار زیاد در زمان و مکان وقوع خشکسالی، کار تشخیص دقیق وقوع آن را بر اساس مشاهدات مکانی سخت و پیچیده کرده است اصولاً برای تحلیل کمی خشکسالی وجود یک شاخص مشخص برای تعیین دقیق دوره‌های مرطوب و خشک بسیار ضروری است (Lin et al, 2011). نتایج این تحقیق نشان داد اثرات خشکسالی بر پوشش گیاهی و درجه حرارت سطح زمین متفاوت بوده و تابع عوامل مختلفی مانند ماه، نوع و خصوصیت پوشش گیاهی و شرایط دمایی آن‌ها است. نتایج این مطالعه تأییدکننده وجود خشکسالی و ترسالی به ترتیب در سال‌های ۲۰۰۰ تا ۲۰۱۷ می‌باشد. این نتایج با توجه به شاخص بارش استاندارد شده منطقه مورد مطالعه که نشان‌دهنده خشکسالی و ترسالی در سال‌های ۲۰۰۰ تا ۲۰۱۷ می‌باشد تأیید شده است. با توجه به وجود همبستگی بالا بین شاخص بارش استاندارد شده و داده‌های ماهواره‌ای، می‌توان نتیجه گرفت که تصاویر ماهواره‌ای از قدرت بالایی برای پایش و مدیریت خشکسالی برخوردار می‌باشند. نتایج تحقیق، مشابه با نتایج سلطانی-وهمکاران (۱۳۹۸)، حمزه‌وهمکاران (۱۳۹۶)، غفوریان (۱۳۹۳) بود که نشان دادند شاخص‌های سنجش‌ازدوری دارای دقت مناسبی در پایش خشکسالی می‌باشد. به‌طور کلی بر پایه نتایج حاصل از پژوهش حاضر چنین استنباط گردید که نیمه شرقی استان‌های مورد مطالعه خشکسالی شدیدتری را نسبت به نیمه غربی تجربه کرده است و این می‌تواند تهدید نسبتاً جدی همچون انتشار ذرات گردوغبار، بحران‌های زیست‌محیطی، کاهش سطح زیر کشت محصولات زراعی و باغی و غیره برای این مناطق باشد.

منابع

- امیدوار، کمال. ۱۳۹۲. مخاطرات طبیعی، انتشارات دانشگاه یزد، یزد.
- تیموری، رؤیا. ۱۳۹۲. بررسی اثرات اقتصادی- اجتماعی خشکسالی‌های دهه اخیر بر روستاهای بخش مرکزی شهرستان اصفهان، پایان‌نامه کارشناسی ارشد، استاد راهنما: دکتر اصغر نوروزی، دانشگاه پیام نور مرکز شهرکرد.
- حجازی‌زاده، زهرا و سعید، جوی‌زاده. ۱۳۸۹. مقدمه‌ای بر خشکسالی و شاخص‌های آن، سمت، تهران.
- خوش‌اخلاق، فرامرز؛ فیروز، رنجبر، سوسن، طولابی، معصومه، مقبل و جعفر، سماکوش. ۱۳۸۹. بررسی خشکسالی در سال آبی ۱۳۸۶-۸۷ و اثرات آن بر منابع آب کشاورزی (نمونه موردی: شهرستان مرودشت). *مجله جغرافیا*، ۲۴: ۱۳۶-۱۱۹.
- کاظمی، روح...؛ حسن، یگانه و سید جمال الدین، خواجه دین. ۱۳۹۰. آشکارسازی تغییرات پوشش گیاهی در طول فصل چرا با استفاده از داده‌های چندزمانه سنجنده IRS-WiFS در منطقه سمیرم. *تحقیقات مرتع و بیابان ایران*، ۱۸(۱): ۱۲۴-۱۳۸.
- رضایی مقدم، محمد حسین؛ خلیل، ولی زاده کامران، هاشم، رستم زاده، و علی رضایی. ۱۳۹۱. ارزیابی کارایی داده‌های سنجنده‌ی MODIS در برآورد خشکسالی (مطالعه‌ی موردی: حوضه‌ی آبریز دریاچه ارومیه). *جغرافیا و پایداری محیط*، ۳۷(۴): ۳۷-۵۲.
- سلطانی، میلاد؛ عادل، سلطانی، مهین، کله‌هوئی و کریم، سلیمان. ۱۳۸۹. پایش خشکسالی منطقه‌ای با استفاده از تصاویر لندست منطقه مورد مطالعه: شهرستان کرمانشاه. *فصلنامه اطلاعات جغرافیایی (سپهر)*، ۲۸ (۱۰۹): ۱۳۸-۱۴۶.
- حمزه، سعید؛ زهرا، فراهانی، شهریار، مهدوی، امید، چترآبگون، امید و مهدی غلام‌نیا. ۱۳۹۶. پایش زمانی و مکانی خشکسالی کشاورزی با استفاده از داده‌های سنجنده‌ی ایزدور مورد مطالعه: استان مرکزی ایران. *نشریه تحلیل فضایی مخاطرات محیطی*، ۴ (۳): ۷۰-۵۳.
- قربانی، خلیل؛ اسماعیل، ولیزاده، و صدیقه برارخان‌پور. ۱۳۹۷. بررسی روند تغییرات مکانی-زمانی شاخص دومتغیره خشکسالی هواشناسی SPEI در ایران. *مدیریت بیابان*، ۶(۱۱): ۲۵-۳۸.
- نوری، هدایت‌الله و اصغر نوروزی. ۱۳۹۵. مبانی برنامه‌ریزی محیطی برای توسعه پایدار روستایی، دانشگاه اصفهان.
- Alwesabi, M. ۲۰۱۲. MODIS NDVI satellite data for assessing drought in Somalia during the period ۲۰۰۰-۲۰۱۱. *Student thesis series INES*.
- Bayarjargal, Y, Karnieli, A, Bayasgalan, M., Khudulmur, S., Gandush, C, and Tucker, C. J. ۲۰۰۶. A comparative study of NOAA-AVHRR derived drought indices using change vector analysis. *Remote Sensing of Environment*, ۱۰۵(۱): ۹-۲۲.
- Bhuiyan, C. ۲۰۰۴. various droughts for monitoring drought condition in Aravalli terrain of India. In Proceedings of the XXth ISPRS Conference. Int. Soc. Photogramm. *Remote Sensing, Istanbul*.
- Bonaccorso, B, Bordi, I, Cancelliere, A, Rossi, G, and Sutera, A. ۲۰۰۳. Spatial variability of drought: an analysis of the SPI in Sicily. *Water resources management*, ۱۷(۴): ۲۷۳-۲۹۶.
- Ceccato, P, Flasse, S, Tarantola, S, Jacquemoud, S, and Gregoire, J. M. ۲۰۰۱. Detecting vegetation leaf water content using reflectance in the optical domain. *Remote Sensing of Environment*, ۷۷: Pp. ۲۲-۳۳.
- Chen, Z, Grasby, S.E, and Osadetz, K.G. ۲۰۰۴. Relation between climate variability and groundwater levels in the upper carbonate aquifer, southern Manitoba, Canada, *Journal of Hydrology*, No. ۲۹۰: ۴۳-۶۲.
- Edossa D. C, Babel. M. S, and Gupta, A. D. ۲۰۰۹. Drought Analysis in the Awash River Basin, Ethiopia, Springer science + Business Media B. V, *Water Resour Manage*, ۱۴۴۱-۱۴۶۰.
- FAO. ۲۰۱۳. Drought Facts-Food and Agriculture, www.fao.org.
- Gu, L, Hanson, P. J, Post, W. M, Kaiser, D. P, Yang, B, Nemani, R, and Meyers, T. ۲۰۰۸. The ۲۰۰۷ eastern US spring freeze: increased cold damage in a warming world?. *BioScience*, ۵۸(۳): ۲۵۳-۲۶۲.
- Howitt, R, MacEwan, D, Medellín-Azuara, J, Lund, J, and Sumner, D. ۲۰۱۵. Economic Analysis of the ۲۰۱۵ Drought for California Agriculture, *University of California Davis*, P. ۳۱

- Karel, A. K. ۱۹۸۹. Response of *Ootheca bennigseni* (Coleoptera: Chrysomelidae) to extracts from neem. *Journal of economic entomology*, ۸۲(۶): ۱۷۹۹-۱۸۰۳.
- Keck, A and Dinar. A. (۲۰۰۰), Water supply variability and drought impact and mitigation in subsahara Africa, *Drought a Global Assessment*, London.
- Lin, W. C. and Yang, S. C. ۲۰۱۱. Exploring students' perceptions of integrating Wiki technology and peer feedback into English writing courses. *English Teaching: Practice and Critique*, ۱۰(۲): ۸۸-۱۰۳.
- Mishra, A. K. and Singh, V. P. ۲۰۱۰. A review of drought concepts, *Journal of Hydrology*, Vol. ۳۹۱: No. ۱, pp. ۲۰۲-۲۱۶.
- Murad, M. H, Elamin, K. B, Abu Elnour, N. O, Elamin, M. B, Alkatib, A. A., Fatourech, M. M, and Erwin, P. J. ۲۰۱۱. The effect of vitamin D on falls: a systematic review and meta-analysis. *The Journal of Clinical Endocrinology & Metabolism*, ۹۶(۱۰): ۲۹۹۷-۳۰۰۶.
- McKee, T. B, Doesken, N. J, and Kleist, J. ۱۹۹۳. The relationship of drought frequency and duration to time scales. *Preprints, 8th Conference on Applied Climatology*, Anaheim.
- Park, E. J, Yi, J, Chung, K. H, Ryu, D. Y, Choi, J, and Park, K. ۲۰۰۸. Oxidative stress and apoptosis induced by titanium dioxide nanoparticles in cultured BEAS-2B cells. *Toxicology letters*, ۱۸۰(۳): ۲۲۲-۲۲۹.
- Rahimzadeh, F, Asgari, A, and Fattahi, E. ۲۰۰۹. Variability of extreme temperature and precipitation in Iran during recent decades. *International Journal of Climatology: A Journal of the Royal Meteorological Society*, ۲۹(۳): ۳۲۹-۳۴۳.
- Shaban, A. ۲۰۰۸. Indicator and Aspects of Hydrological Drought in Lebanon. Springer science + Business Media B. V. *Water Resour Manage*, ۱۸۷۵-۱۸۹۱.
- Silva-Valio, A. ۲۰۰۸. Estimating stellar rotation from starspot detection during planetary transits. *The Astrophysical Journal Letters*, ۶۸۳(۲): L۱۷۹.
- Tsakiris, G, and Vangelis, H. ۲۰۰۴. Towards a drought watch system based on spatial SPI. *Water resources management*, ۱۸(۱): ۱-۱۲.
- Zhang, Q, Li, J, Singh, V. P, and Bai, Y. ۲۰۱۲. SPI-based evaluation of drought events in Xinjiang, China, *Natural hazards*, Vol. ۶۴: No. ۱, pp. ۴۸۱-۴۹۲.

پژوهشگاه علوم انسانی و مطالعات فرهنگی
پرتال جامع علوم انسانی